

## — PROBLÈME N° 1 —

## TRAITEMENT DES POUSSIÈRES PAR ÉLECTROFILTRE

## I. Champ électrique dans un électrofiltre

## A. Champ électrique à vide et tension de seuil

1. D'après l'équation de POISSON, pour tout point M,

$$\Delta V(\mathbf{M}) = -\frac{\rho(\mathbf{M})}{\varepsilon_0}.$$

Mais, comme l'espace inter-électrode est supposé vide de charge,  $\rho(\mathbf{M}) = 0$  et l'équation devient donc

$$\Delta V(\mathbf{M}) = 0.$$

2. (a) On se place dans le repère cylindrique  $(O, \vec{e}_r, \vec{e}_\theta, \vec{e}_z)$ . Le système est invariant par révolution (angle  $\theta$ ) autour de l'axe  $(O, \vec{e}_z)$ , et par translation d'axe  $(O, \vec{e}_z)$ .

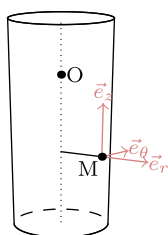


FIGURE A – Invariances du système

On en déduit que

$$V(\mathbf{M}) = V(r).$$

De plus, d'après le calcul du « laplacien » en coordonnées cylindriques, on a

$$\Delta(V) = \frac{1}{r} \frac{\partial}{\partial r} \left( r \frac{\partial V}{\partial r} \right),$$

qui est nul car la zone inter-électrode est vide de charge. Ainsi, comme la dérivée  $\frac{\partial}{\partial r} \left( r \frac{\partial V}{\partial r} \right)$  est nulle,

$$r \frac{\partial V}{\partial r} = A,$$

où  $A$  est une constante. On a donc  $\frac{\partial V}{\partial r} = \frac{A}{r}$ , que l'on peut intégrer en

$$V(r) = A \ln r + B,$$

où  $B$  est aussi une constante. Déterminons les valeurs de ces constantes à l'aide des conditions limites : on a  $V(r_c) = 0$  et  $V(r_e) = -U$  par hypothèse. Ainsi, d'après la première condition, on trouve

$$B = -A \ln r_c$$

d'où, d'après la seconde condition,

$$A = \frac{U}{\ln(r_c/r_e)}.$$

On en déduit donc l'expression du potentiel

$$V(r) = U \frac{\ln(r/r_c)}{\ln(r_c/r_e)}.$$

- (b) On sait que  $\vec{E}(\mathbf{M}) = -\overrightarrow{\text{grad}} V(\mathbf{M})$ . D'où, avec l'expression trouvée à la question précédente, on trouve, au contact avec l'émettrice

$$\vec{E}(r_e) = \frac{U}{\ln(r_c/r_e)} \cdot \frac{1}{r_e} \vec{e}_r.$$

Après résolution, en  $U$ , de l'équation  $E(r_e) = E_0$ , on trouve

$$U_0 = E_0 r_e \ln(r_c/r_e).$$

- (c) On réalise l'application numérique, et on trouve  $U_0 = 2,63 \times 10^4 \text{ V}$ .

3. (a) On remarque que l'expression de  $V(\mathbf{M})$  est invariante par symétrie en  $y$  :  $V(x, y, z) = V(x, -y, z)$ . Et, d'après la géométrie de l'électrofiltre sec, le potentiel sur les collectrices est nul, ce qui est vrai avec l'expression de  $V(\mathbf{M})$  :

$$\begin{aligned} V(x, s, z) &= \frac{U}{\Lambda} \sum_{m \in \mathbb{Z}} \ln \left( \frac{\text{ch} \left( \frac{\pi(x-2md)}{2s} \right)}{\text{ch} \left( \frac{\pi(x-2md)}{2s} \right)} \right) \\ &= \frac{U}{\Lambda} \sum_{m \in \mathbb{Z}} \ln 1 \\ &= 0 \end{aligned}$$

De plus, l'expression du potentiel  $V(M)$  est invariante par translation d'axe ( $Oz$ ), ce qui est compatible avec les hypothèses de l'énoncé : les effets de bords sont négligés, les cylindres sont *infinitement* longs.

Pour déterminer la valeur de  $\Lambda$ , on utilise la condition limite  $V(r_e, 0, z) = -U$  au niveau de l'émettrice. On pose  $\xi =$

$\frac{\pi}{2s}(r_e - 2md)$ , et ainsi,

$$-U = V(r_e, 0, z) = \frac{U}{\Lambda} \sum_{m \in \mathbb{Z}} \ln \left( \frac{\text{ch } \xi - 1}{\text{ch } \xi + 1} \right).$$

On en déduit donc que

$$\Lambda = - \sum_{m \in \mathbb{Z}} \ln \left( \frac{\text{ch } \xi - 1}{\text{ch } \xi + 1} \right).$$

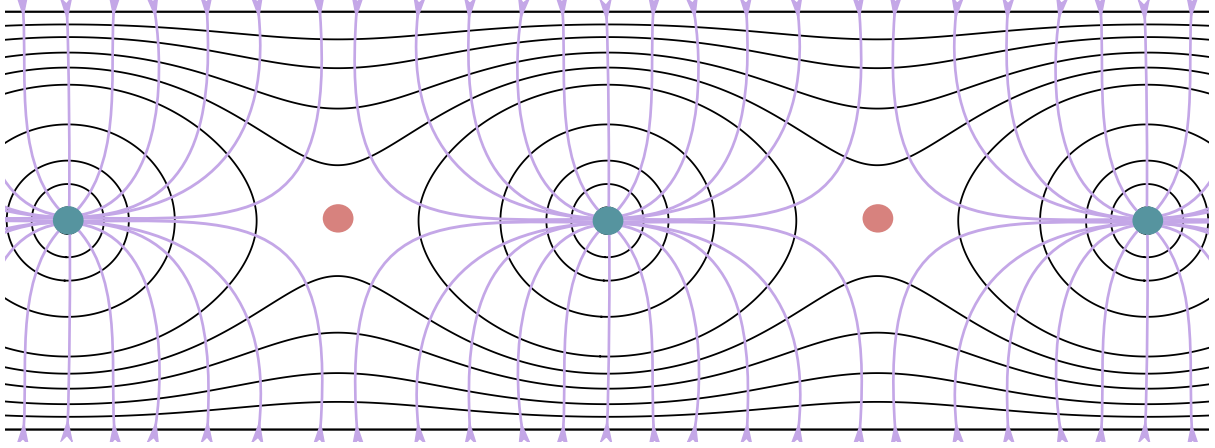


FIGURE B – Lignes de champ de  $\vec{E}(M)$  pour l'électrofiltre sec

- (b) On représente les lignes de champ de  $\vec{E}(M)$  en violet sur la figure B. Les zones de fort champ  $E(M)$  sont lorsque les lignes de champ se resserrent. Le champ est donc plus fort au niveau des émettrices (représentées en bleu sur la figure). Le champ  $\vec{E}(M)$  s'annule à équidistance de deux émettrices, car les champs individuels de chaque émettrice se compensent. Ces points sont représentés en rouge sur la figure.
- (c) Près de l'électrode émettrice, on mesure  $|E_y| = 23,5 \cdot (U/s)$  d'après la figure 2 du sujet. Or, la ligne de champ passant par le point  $M(0, r_e, 0)$  est parallèle à l'axe ( $Oy$ ), d'où  $|E_y| = E_0$ . Ainsi, on a

$$U_0 = \frac{E_0}{23,5} s.$$

Après application numérique, on trouve  $U_0 = 2,81 \times 10^4 \text{ V}$ . Les valeurs de  $U_0$  trouvées pour l'électrofiltre sec et humide ont le même ordre de grandeur :  $U_0 \sim 10^4 \text{ V}$ .

## B. Influence des charges d'espace

- On sait que, dans les conducteurs ohmiques,  $\vec{j}(M) = \rho(M) \cdot \vec{v}(M)$ . Or, d'après l'énoncé,  $\vec{v}(M) = -b \vec{E}(M)$ . Et, comme l'espace inter-électrode est « peuplé » d'anions, de charge négative,  $\rho(M) < 0$ . Ainsi,  $\vec{j}(M)$  est colinéaire et va dans le même sens que  $\vec{E}(M)$ . D'après la figure A, le courant  $i$  va donc des collectrices aux émettrices. Comme  $\vec{j}(M)$  et  $\vec{E}(M)$  sont colinéaires, on en déduit que

$$\vec{j}(M) = -b \rho(M) \vec{E}(M).$$

- On intègre l'expression trouvée à la question précédente sur une surface  $\mathcal{S}$  cylindrique de

rayon  $r$  et de hauteur  $h$  :

$$\begin{aligned}
 i &= \iint_{\mathcal{S}} \vec{j} \cdot d\vec{S}_{\text{sortant}} \\
 &= \iint_{\mathcal{S}} j(\text{M}) \vec{e}_r \cdot dS (-\vec{e}_r) \\
 &= \iint_{\mathcal{S}} -j(\text{M}) dS \\
 &= \iint_{\mathcal{S}} b \rho(\text{M}) E(\text{M}) dS \\
 &= b \rho E \iint_{\mathcal{S}} dS \\
 &= b \rho E \cdot 2\pi r h.
 \end{aligned}$$

Ainsi, on en déduit que

$$\rho = \frac{i}{2\pi r h b E}.$$

3. D'après l'équation de MAXWELL-GAUSS, on a

$$\text{div } \vec{E}(\text{M}) = \frac{\rho(\text{M})}{\varepsilon_0},$$

qui exprime localement la modification du champ électrique  $\vec{E}(\text{M})$  par les charges (*i.e.* les ions). On utilise l'expression de  $\rho$  trouvée à la question précédente, et on a donc

$$\text{div } \vec{E}(\text{M}) = \frac{i}{2\pi\varepsilon_0 r h b E}.$$

Mais, en coordonnées cylindriques, la divergence du champ  $\vec{E}$  est donnée par

$$\text{div } \vec{E}(r, \theta, z) = \frac{1}{r} \frac{\partial (r E_r)}{\partial r} + \frac{1}{r} \frac{\partial E_\theta}{\partial \theta} + \frac{\partial E_z}{\partial z}.$$

Par identification avec les deux formules, et comme  $\vec{E}$  est radial, on trouve

$$\frac{1}{r} \frac{\partial (r E)}{\partial r} = \frac{i}{2\pi\varepsilon_0 h b E},$$

d'où l'équation demandée :

$$r E \cdot \frac{d(r E)}{dr} = \frac{r i}{2\pi\varepsilon_0 h b}.$$

4. Avec le changement de variable  $u = r E$ , on intègre entre  $r$  et  $r_0$  pour trouver

$$\int_r^{r_0} u \frac{du}{dr} dr = \int_r^{r_0} \frac{r i}{2\pi\varepsilon_0 h b} dr$$

d'où

$$\left[ \frac{u^2}{2} \right]_r^{r_0} = \frac{i}{2\pi\varepsilon_0 h b} \times \left[ \frac{r^2}{2} \right]_r^{r_0},$$

et donc

$$(r_0^2 E_0^2 - r^2 E^2(r)) = \frac{i}{2\pi\varepsilon_0 h b} (r_0^2 - r^2).$$

Après simplification, on trouve

$$E^2(r) = \frac{1}{r^2} \left( r_0^2 E_0^2 - \frac{i(r_0^2 - r^2)}{2\pi\varepsilon_0 h b} \right).$$

On en déduit donc que

$$E(r) = \sqrt{\left( \frac{r_0}{r} E_0 \right)^2 - \frac{i}{2\pi\varepsilon_0 h b} \left( \frac{r_0^2}{r^2} - 1 \right)}.$$

5. Si  $E$  devient grossièrement uniforme, alors

$$r E \frac{d(r E)}{dr} = r E \times E \frac{dr}{dr} = r E^2,$$

et donc, avec l'expression de la question 3, on trouve alors

$$r E^2 = \frac{r i}{2\pi\varepsilon_0 h b}.$$

On conclut donc que, avec cette approximation,

$$E = \sqrt{\frac{i}{2\pi\varepsilon_0 h b}}.$$

Après application numérique, on trouve  $E = 0,20 \text{ MJ}$ .

6. On a  $v = \|\vec{v}\| = b E = 62 \text{ m/s}$ . Et, d'après la question 2, on a

$$\rho(r_e) = -\frac{i}{2\pi r_e h b E} = -1,4 \times 10^{-5} \text{ C/m}^3.$$

Le nombre d'ions par centimètre cube est

$$\begin{aligned}
 \frac{\rho(r_e)}{-e} &= 89 \times 10^{12} \text{ ions/m}^3 \\
 &= 89 \times 10^6 \text{ ions/cm}^3.
 \end{aligned}$$

## II. Comportement des poussières dans l'électrofiltre

### A. Charge d'une particule sphérique : modèle de PAUTHENIER

1. (a)

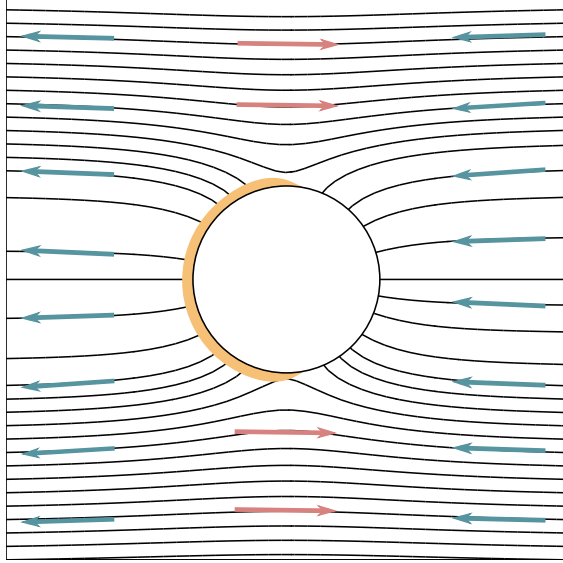
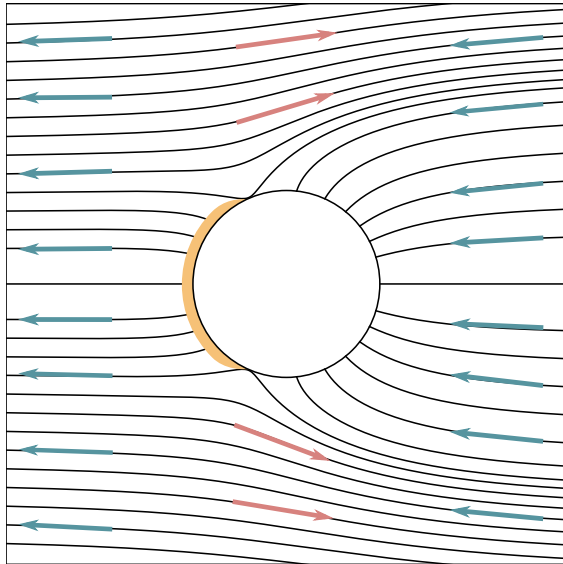
 $Q = 0$  $Q < 0$ 

FIGURE C – Lignes de champ autour d'un grain de poussière pour  $Q = 0$  (en haut) et pour  $Q < 0$  (en bas). Les anions sont représentés en rouge, le champ  $\vec{E}$  est représenté en bleu.

- (b) Le champ  $\vec{E}_1(\mathbf{M})$  correspond à celui créé par une boule chargée de rayon  $a$  et de charge uniforme  $Q$ . Analysons les symétries et invariances : les plans  $\Pi_1(\mathbf{M}, \vec{u}_r, \vec{u}_\theta)$  et  $\Pi_2(\mathbf{M}, \vec{u}_r, \vec{u}_z)$  sont de symétrie des charges, donc du champ  $\vec{E}_1$ . De plus, le système est invariant par révolution autour de l'axe  $(\mathbf{O}, \vec{u}_r)$  et l'axe  $(\mathbf{O}, \vec{u}_z)$ . On en déduit

$$\vec{E}_1(\mathbf{M}) = E_1(r) \vec{u}_r.$$

On applique le théorème de GAUSS sur une sphère  $\mathcal{S}$  de rayon  $r \geq a$  :

$$\oiint_{\mathcal{S}} \vec{E}_1(\mathbf{M}) \cdot d\vec{S}_{\text{sortant}} = \frac{Q_{\text{int}}}{\varepsilon_0} = \frac{Q}{\varepsilon_0}.$$

Or, on a

$$\begin{aligned} \oiint_{\mathcal{S}} \vec{E}_1(\mathbf{M}) \cdot d\vec{S}_{\text{sortant}} &= \oiint_{\mathcal{S}} E_1(r) \vec{u}_r \cdot dS \vec{u}_r \\ &= \oiint_{\mathcal{S}} E_1(r) dS \\ &= E_1(r) \cdot \oiint_{\mathcal{S}} dS \\ &= E_1(r) \cdot 4\pi r^2. \end{aligned}$$

Ainsi, après simplification, on en déduit que

$$\vec{E}_1(r) = \frac{Q}{4\pi r^2 \varepsilon_0} \vec{u}_r.$$

Sur la figure C, on représente en orange la portion de la sphère d'où partent, vers des valeurs croissantes de  $r$ , les lignes de champ de  $\vec{E}(\mathbf{M})$ . Ainsi, cette portion est plus importante pour  $|Q| > 0$  (haut) que pour  $Q = 0$  (bas). L'accroissement de  $|Q|$  a donc tendance à élargir cette portion de sphère. Cet accroissement s'oppose ainsi à l'arrivée de nouveaux anions, de charge négative, sur la sphère.

- (c) Les lignes de champ de  $\vec{E}(\mathbf{M})$  sont si distordues qu'aucun anion n'arrive au grain de poussière lorsque  $\vec{E}_t$  n'a plus de composante radiale, ou elle est strictement négative. Autrement dit, on cherche la valeur maximale de la charge  $Q$  telle que  $\vec{E}_t(\mathbf{M}) \cdot \vec{u}_r > 0$ , reste vrai pour certains points  $\mathbf{M}$ . Au vu de la figure C, le dernier point  $\mathbf{M}$  vérifiant cette condition se situe à  $\theta = \pi$  et à  $r = a$ . Avec cette condition, on a  $\vec{E}(\mathbf{M}) = E\vec{u}_z = -E\vec{u}_r$ , et donc

$$\vec{E}_t \cdot \vec{u}_r = -E + 2E \cos \theta \frac{\varepsilon_r - 1}{\varepsilon_r + 2} \frac{a^3}{r^3} + \frac{Q_{\text{lim}}}{4\pi \varepsilon_0 a^2}$$

qui est nul. D'où,

$$Q_{\text{lim}} = 4\pi \varepsilon_0 a^2 E \cdot \left( 1 + 2 \frac{\varepsilon_r - 1}{\varepsilon_r + 2} \right).$$

- (d) On réalise l'application numérique, et on trouve

$$Q_{\text{lim}} = -1,39 \times 10^{-16} \text{ C} = 869 \times (-e).$$

2. (a) La dimension de  $v = bE$  est  $[v] = [b] \cdot [E] = \text{L} \cdot \text{T}^{-1}$ . Et, d'après le théorème de GAUSS, on a  $\oiint \vec{E} \cdot d\vec{S} = Q/\varepsilon_0$ , d'où

$$[\varepsilon_0] = \frac{[Q]}{[E] \cdot \text{L}^2} = \frac{[Q] \cdot [b]}{[v] \cdot \text{L}^2} = \frac{\text{T} \cdot [Q] \cdot [b]}{\text{L}^3}.$$

Également,  $[\rho] = [Q] \cdot \text{L}^{-3}$ . Par identification, on trouve  $[\varepsilon_0] = [\rho] \cdot [b] \cdot \text{T}$ . Comme la dimension de  $\tau_Q$  est  $[\tau_Q] = \text{T}$ , on en déduit que

$$\tau_Q = 4 \frac{\varepsilon_0}{|\rho| \cdot b}.$$

- (b) On cherche une valeur de  $t$  telle que  $t/(t + \tau_Q) = 90\%$ . D'où,

$$t_{90}(0,90 - 1) = -0,90 \tau_Q.$$

On en déduit

$$t_{90} = \frac{0,90 \tau_Q}{1 - 0,90}.$$

On trouve, par application numérique,  $\tau_Q = 2,3 \text{ ms}$ , d'où  $t_{90} = 21 \text{ ms}$ .

- (c) Le temps nécessaire théorique pour qu'un grain de poussière traverse l'électrofiltre serait de  $t = 10 \text{ s}$ . Or, d'après la question précédente, le temps nécessaire pour que ce grain de poussière soit chargé à 90 % de sa charge maximale est de  $21 \text{ ms} \ll 10 \text{ s}$ . Ainsi, les grains de poussières sont, presque instantanément chargés.